

ОБЪЕДИНЕННЫЙ ИНСТИТУТ ЯДЕРНЫХ ИССЛЕДОВАНИЙ  
ЛАБОРАТОРИЯ ЯДЕРНЫХ ПРОБЛЕМ

С 349  
К-636

М.М. Комочкив

1753

ИССЛЕДОВАНИЯ ПО ДОЗИМЕТРИИ  
И ЗАЩИТЕ ОТ ИЗЛУЧЕНИЙ  
НА СИНХРОЦИКЛОТРОНЕ ОИЯИ

Автореферат диссертации, представленной на соискание  
ученой степени кандидата физико-математических наук

Научный руководитель  
доктор физико-математических наук  
профессор

В.П. Джелепов

Дубна 1964

С 349

K-636

1753

М.М. Комочков

ИССЛЕДОВАНИЯ ПО ДОЗИМЕТРИИ  
И ЗАЩИТЕ ОТ ИЗЛУЧЕНИЙ  
НА СИНХРОЦИКЛОТРОНЕ ОИЯИ

Автореферат диссертации, представленной на соискание  
ученой степени кандидата физико-математических наук

21.85 бг.

Научный руководитель  
доктор физико-математических наук  
профессор

В.П. Джелепов

Объединенный институт  
ядерных исследований  
**БИБЛИОТЕКА**

Дубна 1964

Прогресс ядерной физики и в частности физики элементарных частиц в значительной степени определяется созданием мощных ускорителей частиц. Неотъемлемой составной частью современных ускорителей является защита от радиации, которая обеспечивает безопасное проведение экспериментов и снижение фона в местах размещения регистрирующей аппаратуры. Хорошо спланированная и эффективная защита дает возможность наиболее полно и гибко использовать ускоритель для физических исследований. С другой стороны, плохо спроектированная защита может быть серьезным источником помех при проведении экспериментов и ограничивать как количественные, так и качественные результаты научных исследований.

Тенденция к созданию ускорителей частиц более высоких энергий и на все большие токи приводит к тому, что в значительной степени увеличиваются как размеры защитных экранов, так и их стоимость. Для выполнения обоснованных расчетов защиты появилась необходимость в надежной и полной информации о проникающих излучениях, возникающих при работе ускорителей. В этой связи был выполнен и опубликован целый ряд работ, посвященных проблеме наведенной радиактивности, методом расчета и измерения нейтронных потоков от ускорителей, а также экспериментальным данным об ослаблении потоков нейтронов в защите. Значительная часть исследований нашла отражение в трудах I международной конференции по защите ускорителей на большие энергии<sup>/1/</sup>.

В представленной диссертации обобщены результаты исследований по дозиметрии и защите от излучений, выполненные автором совместно с Б.С.Сычевым, В.Н.Мехедовым, В.П.Афанасьевым и Чжоу-шу на синхроциклотроне Лаборатории ядерных проблем ОИИИ в период с 1953 по 1963 гг. Данные, представленные в диссертации, послужили основой расчета защиты от излучений протонного релятивистского циклотрона на энергию 700 Мэв<sup>/2/</sup>.

В главе 1 описана методика измерения нейтронных потоков и представлены данные о выходе и пространственном распределении нейтронов от различных мишеней.

Глава 2 посвящена исследованиям ослабления потоков нейтронов в защите. Приводятся экспериментальные данные о распределении плотности потоков нейтронов различных энергетических групп в экранах из бетона с различным составом и в защите из стали и чугуна. Даются метод и результаты расчетов прохождения нейтронов высоких энергий в защите.

В главе 3 рассмотрены вопросы активации материалов, оборудования ускорителя и воздуха, а также вопросы защиты от гамма-излучения наведенной радиоактивности.

В заключении приведены основные результаты и краткие выводы работы.

Материал настоящей диссертации основан на работах <sup>/3-9/</sup>. Основные результаты работы были доложены на Международном симпозиуме по вопросам гигиены труда при работе с радиоактивными веществами и источниками ионизирующих излучений (Москва, 1961 г.), а также на Международной конференции по ускорителям (Дубна, 1963 г.).

1. Измерения распределения потоков нейтронов в помещениях синхроциклотрона от различных мишней и в защите проводились в основном детекторами, указанными в таблице 1.

Таблица 1

Характеристика детекторов нейтронов

№ пп	Детектор нейтронов	Энергия нейтронов	Диапазон регистрации плотности потока, нейtron сек м <sup>-2</sup>	Продукты реакции	Регистрирующий прибор
1	2	3	4	5	6
1.	Фольга из индия толщ. $3 \cdot 10^{-2}$ см и диам. 3 см	Резонанс- ная и тепловая	$10^6 - 10^{12}$	Бета-из- лучение	Установка Б-2 со счет- чиком Гейгера
2.	Фольга из индия в чехле из кадмия	Резонанс- ная	$10^6 - 10^{12}$	--	--
3.	Таблетка из смеси органического стекла и сернистого цинка диаметром 4 см и толщиной 1,2 см	> 0,5 Мэв	$2 \cdot 10^3 - 10^7$	Протоны отдачи	Сцинтиляци- онный счет- чик типа РН-3
4.	a) Графитовая плас- тина с размерами $2x2 \times 0,5$ см	> 20,5 Мэв	$10^8 - 10^{18}$	Бета-из- лучение	Установка Б-2 со счетчи- ком Гейгера
b)	Твердый сцинтил- лятор диаметром 6 см и толщиной 2 см	--	$10^8 - 10^{12}$	--	Сцинтиляцион- ный счетчик
b)	Жидкий сцинтилятор объемом 1 л	--	$5 \cdot 10^4 - 10^{11}$	--	--

1	2	3	4	5	6
5.	Ионизационная каме- ра, электроды кото- рой покрыты тонким слоем висмута	> 50 Мэв	$10^6 - 10^{10}$	Осколки деле- ния висмута	Установка для регистрации продуктов де- ления
6.	Толстослойная фотоэмulsionия К-200	> 50 Мэв	$20 - 10^9$	Продукты рас- щепления ядер фотоэмulsionии	Микроскоп

На рис. 1 приведены результаты измерений уровней излучения в помещениях синхроциклотрона. В левой части рисунка числа, стоящие вблизи точек измерения, означают: числитель - номер точки; знаменатель - поток частиц в относительных единицах, измеренный с помощью камер с висмутом и графитовых пластин. В правой половине рис. 1 приняты следующие обозначения: числитель - номер точки, первое число в знаменателе - поток быстрых нейтронов в сек на см<sup>2</sup>, второе число - мощность дозы гамма-излучения в мкр/сек.

2. Угловые распределения и потоки нейтронов высоких энергий измерялись от бериллиевой и свинцовой мишней при облучении их протонами с начальными энергиями 660 Мэв. Отношение потока нейтронов, вылетающих из тонкой бериллиевой мишени в телесном угле 1,13 стер в направлении движения пучка протонов к потоку протонов, составляет величину 0,04-0,07. Ширина на половине высоты углового распределения нейтронов с энергиями более 50 Мэв найдена равной  $0,51 \pm 0,02$  рад.

Отношение потока нейтронов, летящих в телесном угле 1,13 стер из толстой свинцовой мишени, установленной на внешнем пучке протонов, к потоку протонов равно 0,7-0,72.

Рассчитанные выходы каскадных нейтронов из бериллиевой и свинцовой мишней удовлетворительно согласуются с измеренными величинами потоков нейтронов.

На основании результатов измерений угловых распределений нейтронов высоких энергий, полученных на синхроциклотроне ОИИИ, а также на других ускорителях протонов <sup>/4,10-13/</sup>, установлена эмпирическая зависимость дифференциального сечения образования нейтронов с энергиями более 20 Мэв  $d\sigma/d\Omega$  от угла вылета нейтронов и энергии падающих на мишень протонов  $E_p$  в интервале от 170 до 660 Мэв:

$$\frac{d\sigma}{d\Omega} = \frac{32 \cdot v \cdot A^{3/4} \cdot 10^{-27}}{f(\theta) \cdot d\Omega} \cdot f(\theta), \text{ нейtron} \cdot \text{см}^2 \text{стер}$$

Здесь  $v$  - число каскадных нейтронов ( $E \geq 20$  Мэв), образующихся при одном неупругом соударении протонов с ядром, атомный вес которого равен  $A$ . Функция углового распределения  $f(\theta)$  аппроксимируется следующим выражением:

$$f(\theta) = \begin{cases} \cos[1,05 \frac{\theta}{\theta_{\frac{1}{2}}}] & 0 \leq \theta \leq \theta_{\frac{1}{2}} \\ \frac{q}{660} \exp[-4,2(\frac{E_p}{660})^{2/3}(\theta - \theta_{\frac{1}{2}})] & \theta_{\frac{1}{2}} \leq \theta \leq \pi/2 \end{cases}$$

Полуширина углового распределения  $\theta_{\frac{1}{2}}$  равна  $q(\frac{660}{E_p})^{2/3}$ , где  $E_p$  - энергия протонов в Мэв, а коэффициент  $q$  равен 0,27 для ядер бериллия и 0,3 - для  $A \geq 27$ .

В измерениях углового распределения потока нейтронов, рассеянных стенками коллиматора, установлено, что плотность потока нейтронов с энергиями более 20 Мэв пропорциональна котангенсу угла между направлением рассеянного нейтрона и осью коллимированного пучка.

## II.

1. Экспериментальные исследования ослабления нейтронных потоков в защите проводились в условиях, близких к условиям, при которых плоский мононаправленный источник расположен на границе полубесконечной среды. Материалом защиты являлся бетон с различной плотностью и сталь. Поток нейтронов генерировался в бериллиевой мишени протонами с энергиями от 170 до 660 Мэв. Результаты измерений позволили принять экспоненциальный характер ослабления потока нейтронов на значительном участке толщины защиты. В таблице 2 даны длины ослабления потоков нейтронов с энергиями более 20 Мэв на участке толщины защиты от  $\lambda$  до  $(3-6)\lambda$ . При равномерной плотности защиты длина ослабления потока нейтронов приблизительно пропорциональна длине для неупругого взаимодействия нейтронов с ядрами.

Таблица 2

Длина ослабления ( $\lambda$  см) для различных спектров нейтронов

Материал защиты	Плотность $\text{kg/m}^3$	Энергия протонов, Мэв				
		170	250	350	480	660
Бетон	$2350 \pm 50$	$42 \pm 3$	$49 \pm 3$	$55 \pm 3$	$62 \pm 4$	$61 \pm 1,5$
	$3200 \pm 100$	$35 \pm 3$	-	$49 \pm 3$	$52 \pm 3$	$52 \pm 3$
	$4100 \pm 150$	$27 \pm 3$	$32 \pm 2$	$43 \pm 3$	$48 \pm 3$	$46 \pm 3$
Сталь+чугун	$7500 \pm 300$	-	-	-	-	$23 \pm 0,9$

2. Расчеты прохождения нейтронов в защите выполнены без учета угловых отклонений в процессах взаимодействия нейтронов с ядрами. Для моноэнергетического потока нейтронов, падающих на защиту, плотность потока и энергетический спектр ней-

тронов с энергиями более 80 Мэв описываются функциями Бесселя мнимого аргумента нулевого и первого порядка соответственно. Отношение потока нейтронов с энергиями от 20 до 80 Мэв к потоку нейтронов с энергией более 80 Мэв плавно увеличивается от нуля до 0,3 при изменении толщины защиты от нуля до двух длин для неупругого взаимодействия нейтронов с ядрами  $\lambda_H$ , оставаясь затем постоянным с возрастанием толщины защиты. Результаты экспериментов и расчетов показывают, что при толщине защиты, превышающей  $2\lambda_H$ , поток нейтронов с энергией более 20 Мэв может быть описан следующим выражением:

$$\Phi(x) = 1,3 e^{-\frac{x}{\lambda_H}} I_0(2\sqrt{\frac{x}{\lambda_H}} \cdot 1,3 \cdot 10^{-3} (E_0 - 80)).$$

Здесь  $x$  - толщина защиты,  $I_0$  - функция Бесселя мнимого аргумента нулевого порядка,  $E_0$  - энергия нейтронов в моноэнергетическом пучке, падающем на защиту.

Наблюдается хорошее согласие между данными расчетов и экспериментов для зависимости плотности потока нейтронов как от толщины защиты, так и от начальной энергии нейтронов. На рис. 2 для примера представлены зависимости потоков нейтронов от толщины защиты из стали и чугуна, на которую падают нейтроны, образующиеся при бомбардировке бериллиевой мишени протонами с энергией 660 Мэв. Пунктирная и сплошная кривые представляют зависимости потока нейтронов с энергиями более 80 Мэв и более 20 Мэв, соответственно, от толщины защиты.

## III.

Исследовалась наведенная гамма-радиоактивность, возникающая в различных материалах при облучении их протонами с энергией 660 Мэв. На рис. 3 представлена удельная радиоактивность исследованных веществ в разные моменты времени от конца длительного облучения. Нижние кривые представляют собой спад радиоактивности от времени без учета долгоживущих компонент, верхние кривые - с учетом долгоживущей активности. Для сравнения крестиками обозначена кривая спада мощности дозы гаммаизлучения, полученная вблизи синхроциклотрона, проработавшего в течение 6-ти лет.

Установлено, что уровни гаммаизлучения наведенной в ускорителе радиоактивности становятся сравнимыми с предельно-допустимой дозой, когда плотности потоков нейтронов или протонов достигают величин  $10^{8-10} \text{n} \cdot \text{сек}^{-2} \cdot \text{м}^2$  нейtron/сек, а полный поток нейтронов от ускорителя  $10^{10}$  нейtron/сек. Путем расчета получены кривые ослабления дозы гаммаизлучения наведенной радиоактивности в защите из железа, свинцового стекла и свинца (см.рис. 4). Спектр гамма-квантов заимствован из работы<sup>[14]</sup>. Даные расчета согласуются с результатами измерений уровня гаммаизлучения наведенной в дуанте синхроциклотрона радиоактивности за экранами из свинцового стекла различной толщины.

При измерении активации воздуха нейтронами и протонами от синхроциклотрона установлено, что ответственными за радиоактивность воздуха являются изотопы  $O^{15}$ ,  $N^{13}$ ,  $C^{11}$  и  $Ar^{41}$ . Распределение активности воздуха по помещению, через которое проходит пучок частиц, определяется скоростью распада радиоактивных изотопов и диффузией газа.

#### Л и т е р а т у р а

1. First Intern. Conf. on Shielding around High-Energies Accelerators. Orsay-Saclay, Jan. 18-20 (1962).
2. В.П. Джелепов и др. Релятивистский протонный циклотрон на энергию 700 Мэв. Труды международной конференции по ускорителям заряженных частиц, г.Дубна, август 1963 г.
3. М.М.Комочков, В.Н.Мехедов. Атомная энергия, 4, вып. 5, 471 (1958).
4. М.М.Комочков, В.Н.Мехедов. Атомная энергия, 8, вып. 2, 152 (1960).
5. М.М.Комочков. Атомная энергия, 11, вып. 4, 399 (1961).
6. Л.Н.Зайцев, М.М.Комочков, Б.С.Сычев. Атомная энергия, 12, вып. 6, 525 (1962).
7. М.М.Комочков, Б.С.Сычев. Атомная энергия, 15, вып.4, 325 (1963).
8. М.М.Комочков. Атомная энергия, 15, 126 (1963).
9. М.М.Комочков. Препринт ОИЯИ Р-1349 (1963).
10. M.Snowden. Phil. Mag. 43, 285 (1952).
11. JDe Yuren. Phys. Rev. 81, 458 (1951).
12. R.D.Muller et al., Phys. Rev. 81, 374 (1951).
13. В.П.Джелепов, Б.М.Понтекорво. Атомная энергия, 6; вып. 6, 657 (1959).
14. K.Goebel and E.J.Michaelis, CERN, MSC Intern. Report, 62-2 (1962).

Рукопись поступила в издательский отдел  
27 июня 1964 г.

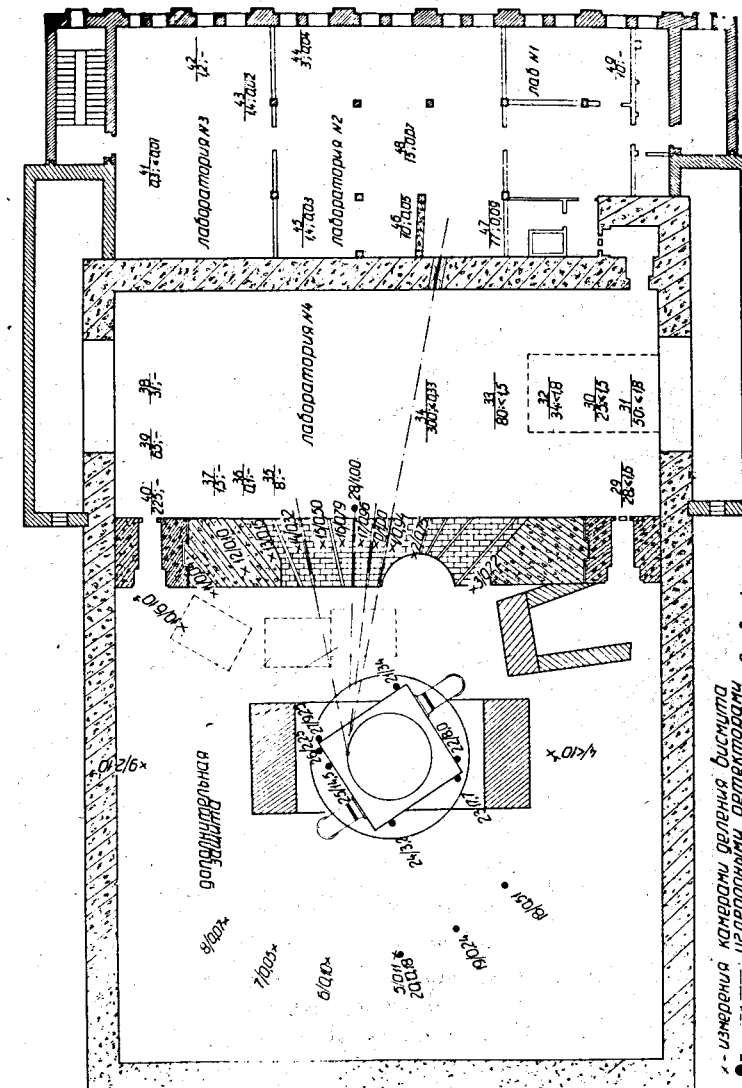


Рис. 1. Распределение излучений вокруг шестиметрового синхроциклотрона.

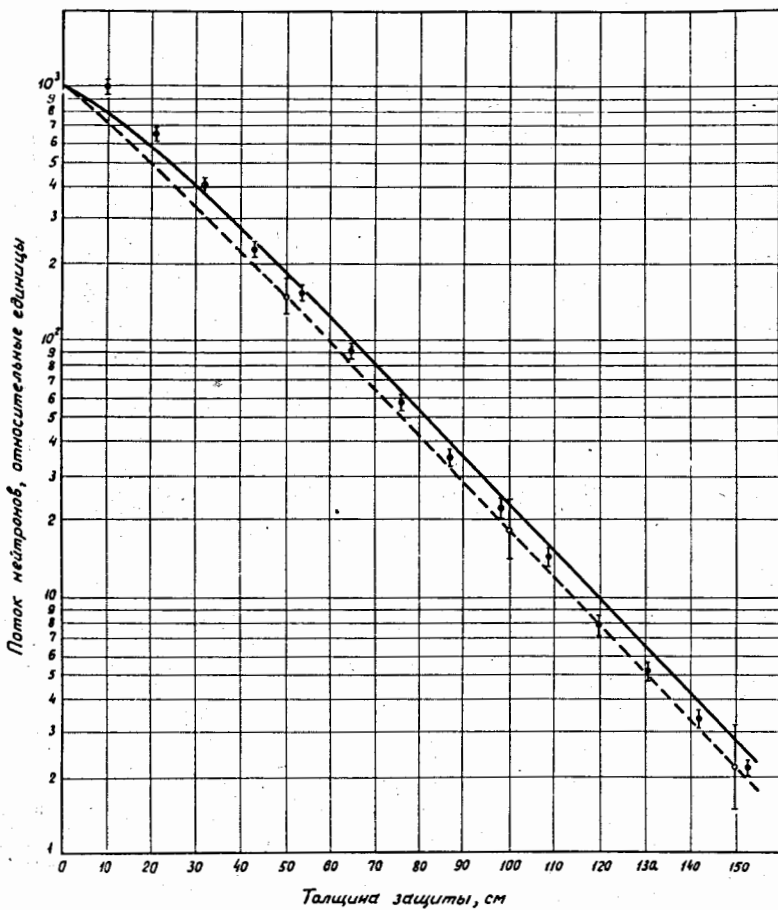


Рис. 2 Ослабление потока нейтронов в защите из стали и чугуна.

Х—экспериментальные точки

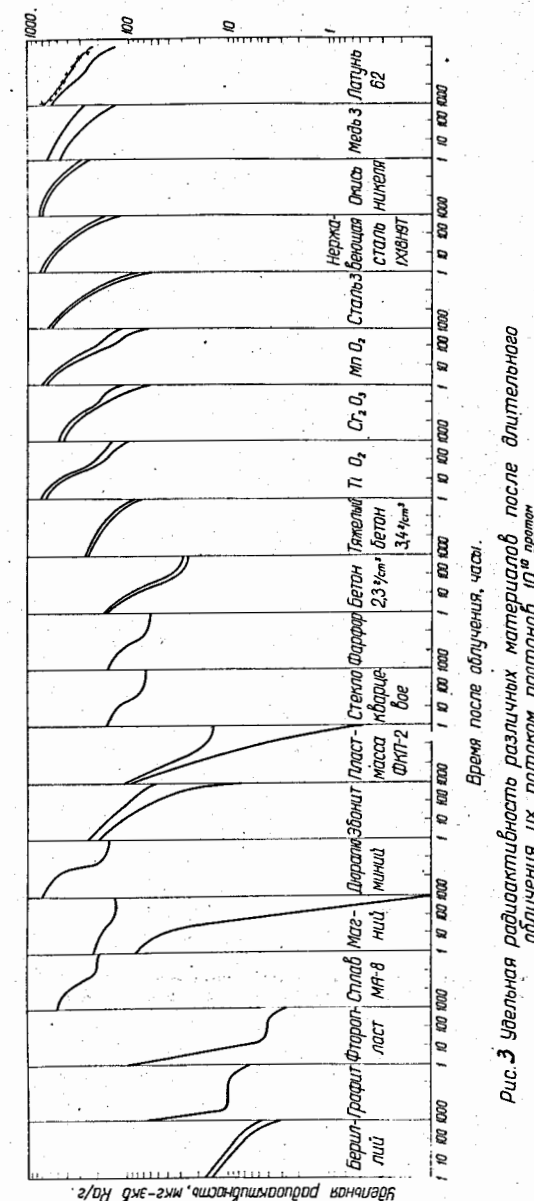


Рис. 3 Чувствительность различных материалов после длительного воздействия потоком притоков  $10^{10}$  нейтронов/сек

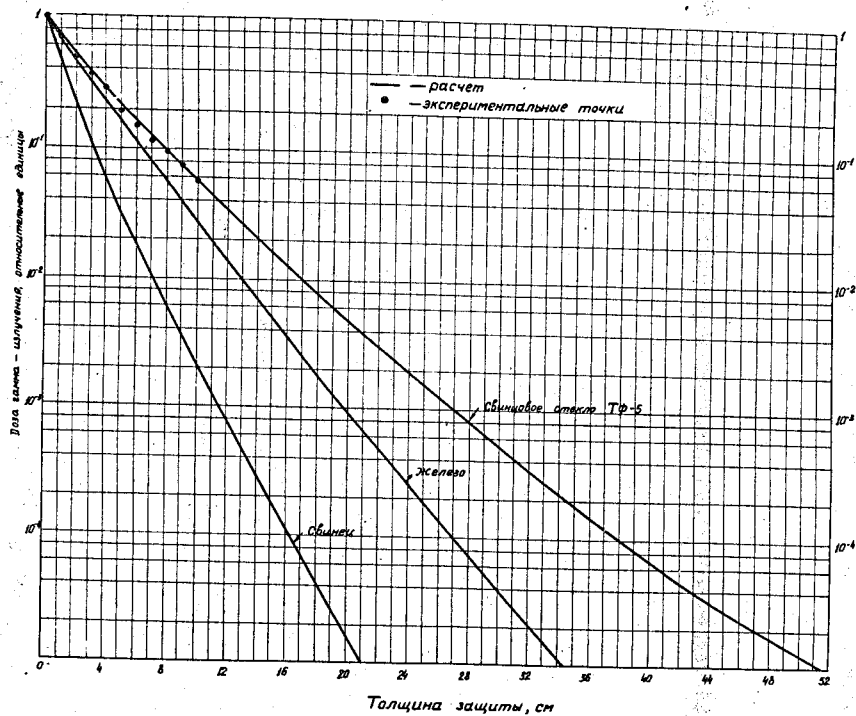


Рис. 4. Ослабление дозы гамма-излучения, набеденной радиоактивности в защите из свинцового стекла Тг-5, железа и свинца.